

การศึกษาทดลอง เสถียรภาพ



นาย เสรี จันทรโยธา

004121

วิทยานิพนธ์นี้เป็นส่วนหนึ่งของการศึกษาตามหลักสูตรปริญญาวิศวกรรมศาสตรมหาบัณฑิต

ภาควิชาวิศวกรรมโยธา

บัณฑิตวิทยาลัย จุฬาลงกรณ์มหาวิทยาลัย

พ.ศ. ๒๕๒๔

A STUDY OF STABLE CHANNELS

Mr.Seree Chanyotha

A Thesis Submitted in Partial Fulfillment of the Requirements

for the Degree of Master of Engineering

Department of Civil Engineering

Graduate School

Chulalongkorn University

1981.

หัวข้อวิทยานิพนธ์

การศึกษาคลอง เสถียรภาพ

โดย

นาย เสรี จันทรโยธา

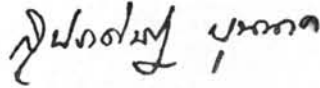
ภาควิชา

วิศวกรรมโยธา

อาจารย์ที่ปรึกษา

ศาสตราจารย์ ดร.นิวัฒน์ ตารานันท์

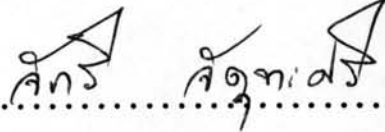
บัณฑิตวิทยาลัย จุฬาลงกรณ์มหาวิทยาลัย อนุมัติให้บัณฑิตวิทยาลัยนี้เป็นส่วนหนึ่ง  
ของการศึกษาตามหลักสูตรปริญญาโทบริหารบัณฑิต



..... คณบดี บัณฑิตวิทยาลัย

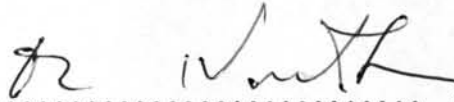
(รองศาสตราจารย์ ดร.สุประติษฐ์ บุญนาค)

คณะกรรมการสอบวิทยานิพนธ์



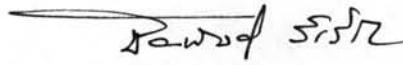
..... ประธานกรรมการ

(รองศาสตราจารย์ จักร จิตตะศรี)



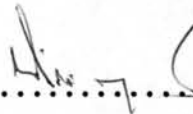
..... กรรมการ

(รองศาสตราจารย์ อำนวย เปรมปรีดิ์)



..... กรรมการ

(ผู้ช่วยศาสตราจารย์ ดร.ชัยพันธุ์ รักริฉัย)



..... กรรมการ

(ศาสตราจารย์ ดร.นิวัฒน์ ตารานันท์)

ลิขสิทธิ์ของบัณฑิตวิทยาลัย จุฬาลงกรณ์มหาวิทยาลัย

หัวข้อวิทยานิพนธ์	การศึกษาคล่องเสถียรภาพ
ชื่อนิสิต	นาย เสรี จันทรโยธา
อาจารย์ที่ปรึกษา	ศาสตราจารย์ ดร. นิวัติ คารานันท์
ภาควิชา	วิศวกรรมโยธา
ปีการศึกษา	2524



บทคัดย่อ

การออกแบบคล่องเสถียรภาพ ในวัสดุประเภทที่สามารถเกิดการกัดเซาะได้ มีความสลับซับซ้อนและขึ้นกับตัวแปรการไหลต่าง ๆ อาทิ เช่น ปริมาณการไหลของน้ำ ค่าสัมประสิทธิ์ความฝืดของวัสดุประกอบคล่อง ความลาดเอียงของฝั่งคล่อง ความลาดเอียงของท้องคล่อง คุณสมบัติของวัสดุประกอบคล่องและอื่น ๆ ซึ่งองค์ประกอบต่าง ๆ ดังกล่าวล้วนมีผลต่อการออกแบบคล่องเสถียรภาพทั้งสิ้น

ในการศึกษานี้ ได้รวบรวมวิธีการต่าง ๆ ในการออกแบบคล่องเสถียรภาพที่มีอยู่ตลอดจนสมการทั้งหลายที่ใช้ในการออกแบบขึ้นอยู่กับผลการทดลองในห้องปฏิบัติการควบคู่กับการศึกษาและวัดผลจากของจริงในสนามและ เสนอสูตรต่าง ๆ รวมถึงตารางตลอดจนความสัมพันธ์ระหว่างตัวแปรค่าได้รับการรวบรวมและ เสนอมาในที่นี้

กล่าวโดยสรุป การออกแบบคล่องเสถียรภาพสามารถแบ่งได้เป็น 3 วิธีการด้วยกัน คือ

- วิธีการของความเร็วกการไหลที่ยอมให้
- วิธีการของแรงเฉือนหรือแรงจุด
- วิธีการของทฤษฎีสภาวะสมดุลย์ (ของการตกตะกอนและกัดเซาะ)

ผู้วิจัยยังได้ทำการศึกษาเพิ่มเติม โดยเก็บรวบรวมข้อมูลจากตัวอย่างคล่อง 4 คล่อง ในบริเวณภาคกลางของประเทศไทย ซึ่งคล่องดังกล่าวได้มีการใช้งานมาเป็นเวลานานหลายสิบปี และไม่มีมีการเปลี่ยนแปลงรูปแบบของคล่องมากนัก เพราะมีการดูแลรักษาน้อยมาก ตัวแปรต่าง ๆ ที่ทำการ

รวบรวมเพื่อทำการวิเคราะห์ประกอบด้วย ปริมาณการไหลของน้ำ ความเร็วการไหลของน้ำ เส้น  
ขอบเปียก รัศมีชลศาสตร์ ความลึกการไหล ความกว้างเฉลี่ย ความลาดเอียงท้องคลอง ความ  
ลาดเอียงฝั่งคลองและชนิดของวัสดุประกอบคลอง ในการวิเคราะห์ ผู้วิจัยได้ใช้หลักการของ  
ทฤษฎีสภาวะสมดุลย์ หาความสัมพันธ์ของตัวแปรต่าง ๆ ดังกล่าวในหลายวิธีและได้แสดงผลการ  
วิเคราะห์ในรูปแบบของสมการและรูปความสัมพันธ์ นอกจากนี้ ยังได้เปรียบเทียบผลการศึกษาที่ได้  
กับผลการศึกษาของบุคคลอื่น ๆ

ผู้วิจัยได้ศึกษาและตรวจสอบคลองบางคลองในโครงการสร้างงานในชนบทของรัฐบาล ผลการ  
ทดสอบโดยใช้วิธีการของความเร็วมอเตอร์ที่ยอมให้ พบว่า คลองส่วนใหญ่ที่เพิ่งขุดใหม่ ๆ ขาด  
เสถียรภาพ ผู้วิจัยได้เสนอแนะแนวทางที่ดีในการออกแบบคลองต่อโครงการดังกล่าวนี้ในอนาคตด้วย

Thesis Title        A Study of Stable Channels  
Name                Mr. Seree Chanyotha  
Thesis Advisor     Professor Niwat Daranandana, Ph.D.  
Department        Civil Engineering  
Academic Year     1981

#### Abstract

The design of stable channels in erodible material was so complex and depended on several variables such as the discharge, roughness coefficient, side slope, bed slope, properties of materials forming channel body etc. All these variables play a major role in the design of the stable channel.

Various procedures for stable channels design have been compiled and presented in this study. Most of the formulae were based upon experimental works coupled with fields investigations. Formulae, tables and some functional relationships were also summarized and presented in this research.

In conclusion, stable channels design are generally categorized into 3 design criterias as follows:-

- the permissible velocity method
- the tractive force method
- the regime theory method

The author had also collected data on 4 existing canals in the central part of Thailand. These canals have been in services for many

decades and required only slight maintenance works. Variables selected for the analysis were discharge, flow velocity, wetted perimeter, hydraulic radius, depth of flow, mean width, bed slope, side slope and Type of material forming canal bodies. Based on the regime theory method, correlation analyses of these selected canal parameters were made in various ways. These relationships were also given in the forms of formulae and diagrams. The results of the study were also correlated and compared with those developed by various other investigators.

The author has also applied the permissible velocity method to check upon Government's Rural Job Creation Program with regard to the construction of small canals. The results of such check revealed that many newly built canals were found to be unstable. Recommendations were therefore given as a good guide for the design of such canals in the future.

## กิตติกรรมประกาศ



ข้าพเจ้าใคร่ขอกราบขอบพระคุณ ท่านรองศาสตราจารย์ ธำรง เปรมปรีดิ์  
 ท่านรองศาสตราจารย์ จักรี จตุหะศรี และโดยเฉพาะท่านศาสตราจารย์ ดร. นิวัตต์ คารานันท์  
 ท่านผู้ช่วยศาสตราจารย์ ดร. ชัยพันธุ์ รักริฉัย ซึ่งเป็นผู้ที่คอยให้ความช่วยเหลือทั้งทางด้านแนว  
 ความคิด ตลอดจนคำแนะนำต่าง ๆ ในการทำการวิจัยตั้งแต่ต้นจนแล้วเสร็จสมบูรณ์อย่างใกล้ชิด  
 โดยตลอด ทำให้ข้าพเจ้ารู้สึกซาบซึ้งในพระคุณเป็นอย่างยิ่งต่อความกรุณาของบรรดาคณาจารย์  
 ที่ได้กล่าวนามมาข้างต้น อนึ่ง ข้าพเจ้าขอขอบพระคุณท่านอาจารย์ วิทยา สมหาร หัวหน้างาน  
 ทดลองวิจัยชลศาสตร์ กรมชลประทาน ปากเกร็ด ที่ให้ความช่วยเหลือตรวจสอบ ปรับปรุงแก้ไข  
 เครื่องมือวัดกระแสน้ำจนใช้งานได้ดี ตลอดจนเจ้าหน้าที่โครงการชลประทานรังสิตเหนือ เจ้า  
 หน้าที่โครงการชลประทานรังสิตใต้ เจ้าหน้าที่กองออกแบบ กรมชลประทาน ตลอดจนท่านอื่น ๆ ที่  
 มิได้กล่าวนาม ณ ที่นี้ ซึ่งได้มีส่วนให้ความช่วยเหลือและอำนวยความสะดวกในการรวบรวมข้อมูล  
 จนทำให้วิทยานิพนธ์ฉบับนี้ เสร็จลงด้วยดี

จากประสบการณ์ในการทำวิทยานิพนธ์ครั้งนี้ ทำให้ข้าพเจ้าได้เรียนรู้ถึงประโยชน์จาก  
 การทำงานที่จำเป็นต้องอาศัยความร่วมมือจากบุคคลหลายฝ่าย ซึ่งถ้าปราศจากความร่วมมือดังกล่าว  
 แล้ว งานวิจัยครั้งนี้คงไม่สามารถสำเร็จลงด้วยดีได้เลย ประโยชน์จากวิทยานิพนธ์ฉบับนี้ หากพึง  
 มี ข้าพเจ้าขอมอบให้ผู้ที่สนใจ ซึ่งนำไปเป็นข้อคิดประกอบการปฏิบัติและแนวทางการศึกษาต่อไป

เสรี จันทรโยธา



บทคัดย่อภาษาไทย	ง
บทคัดย่อภาษาอังกฤษ	ฉ
กิตติกรรมประกาศ	ช
สารบัญ	ฅ
สารบัญตารางประกอบ	ฎ
สารบัญภาพประกอบ	ท
ความหมายของสัญลักษณ์	ถ
คำจำกัดความของคำ	บ
บทที่ 1    บทนำ	1
1.1    ความเป็นมา	1
1.2    ความสำคัญของปัญหา	3
1.3    วัตถุประสงค์ของการศึกษา	5
1.4    ขอบข่ายการศึกษา	6
1.5    ผลการศึกษาที่เคยมี	6
1.6    การดำเนินการศึกษา	7
1.7    ประโยชน์ที่คาดว่าจะได้รับ	8
บทที่ 2    การพิจารณาทฤษฎีเบื้องต้น	10
2.1    มโนทัศน์เกี่ยวกับเสถียรภาพของคลอง	10
2.2    ทฤษฎีกลศาสตร์ของน้ำ	11
2.3    สมการความเร็วการไหลวิกฤติ	15
2.4    สมการแรงเฉือนวิกฤติ	17
บทที่ 3    สมการสำหรับการออกแบบคลองเสถียรภาพ	20
3.1    การออกแบบคลองโดยกำหนดความเร็วสูงสุดของการไหลที่ยอมให้	22
3.2    การออกแบบคลองโดยทฤษฎีแรงเฉือนหรือแรงฉุด	43



	3.3 การออกแบบคลองโดยใช้ทฤษฎีสภาวะสมดุลของการกัดกร่อน และตกตะกอน (Regime theory)	64
	3.4 การกำหนดค่าความลาดเอียงของฝั่งคลอง	92
บทที่ 4	การศึกษาสำรวจและเก็บข้อมูล	95
	4.1 การพิจารณาแนวทางในการวิจัย	95
	4.2 เครื่องมือที่ใช้ประกอบการศึกษา	96
	4.3 การเลือกตัวอย่างคลองเพื่อทำการศึกษา	97
	4.4 การเก็บรวบรวมข้อมูล	97
บทที่ 5	การวิเคราะห์ข้อมูลและผลการศึกษา	104
	5.1 สมมติฐานความสัมพันธ์ของตัวแปรการไหลของคลองเสถียรภาพ	104
	5.2 การวิเคราะห์ข้อมูล	105
	5.3 ผลการวิเคราะห์ข้อมูล	107
	5.4 เปรียบเทียบผลการวิเคราะห์ข้อมูลกับผลการศึกษาในต่างประเทศ	119
	5.5 หลักการในการคำนวณออกแบบคลองเสถียรภาพ	125
บทที่ 6	คลองในโครงการสร้างงานในชนบท (2623-2524)	130
	6.1 โครงการสร้างงานในชนบท (กสช.)	130
	6.2 ลักษณะคลองทั่ว ๆ ไปในโครงการ กสช.	132
	6.3 การกำหนดขนาดคลองในโครงการ กสช.	132
	6.4 ข้อเสนอแนะในการพิจารณากำหนดขนาดคลองในโครงการ กสช.	140
บทที่ 7	สรุปผลการศึกษาและข้อเสนอแนะ	149
	7.1 สรุปผลการศึกษา	149
	7.2 ข้อเสนอแนะ	154
	เอกสารอ้างอิง	155
	ภาคผนวก	163

## รายการตารางประกอบ

ตารางที่		หน้า
3-1	ความเร็วสูงสุดของการไหลที่ยอมให้ โดย Etcheverry (1916)	30
3-2	ความเร็วสูงสุดของการไหลที่ยอมให้ โดย Fortier & Scobey (1926)	32
3-3	ความเร็วสูงสุดของการไหลที่ยอมให้สำหรับวัสดุประเภทมีแรงยึดติดของอนุภาค (cohesive materials) ข้อมูลจาก U.S.S.R. (1936)	34
3-4	ตัวคูณลดหรือเพิ่ม สำหรับความเร็วการไหลที่ยอมให้ที่ความลึกต่าง ๆ ข้อมูลจาก (U.S.S.R. (1936)	34
3-5	ความเร็วสูงสุดของการไหลที่ยอมให้สำหรับวัสดุประเภทไม่มีแรงยึดติดของอนุภาค (cohesionless materials) ข้อมูลจาก U.S.S.R. (1936)	35
3-6	ความเร็วสูงสุดของการไหลที่ไม่ทำให้เกิดการกัดเซาะ โดย Kraatz (1977)	39
3-7	ความเร็วสูงสุดของการไหลที่ยอมให้ โดย Varsheney (1979)	40
3-8	ความเร็วสูงสุดของการไหลที่ไม่ทำให้เกิดการกัดเซาะ โดย Kraatz (1977)	41
3-9	ค่าสัมประสิทธิ์ตัวคูณ ( $a_1$ ) สำหรับดินชนิดต่าง ๆ ในสมการของ Kennedy	68
3-10	ค่าอัตราส่วนความเร็ววิกฤติ ( $m$ ) สำหรับวัสดุชนิดต่าง ๆ ของสมการ Kennedy	68
3-11	รวบรวมสรุปสมการของ Lacey ที่มาและการใช้แสดง	75
3-12	ค่าความลาดเอียงฝั่งคลองสำหรับดินชนิดต่าง ๆ โดย Singhal (1968)	93
3-13	ค่าความลาดเอียงฝั่งคลองสำหรับดินชนิดต่าง ๆ โดย Davis & Sorensen (1969)	93
3-14	ค่าความลาดเอียงฝั่งคลองสำหรับดินชนิดต่าง ๆ โดย Simons & Senturk (1977)	94
5-1	สรุปสมการความสัมพันธ์ของตัวแปรการไหลต่าง ๆ จากผลการศึกษา	117
5-2	สรุปคำแนะนำในการพิจารณาความลาดเอียงของฝั่งคลองสำหรับดินชนิดต่าง ๆ	126
5-3	สรุปคำแนะนำความเร็วการไหลที่ยอมให้สำหรับดินชนิดต่าง ๆ	126

ตารางที่	หน้า
6-1 ตารางแสดงประเภทและจำนวนของโครงการต่าง ๆ ในโครงการสร้างงาน ในชนบท (2523)	133
6-2 ตัวอย่างขนาดคลองในโครงการสร้างงานในชนบท (2523-2524)	134
6-3 คำนแนะนำความลาดเอียงฝั่งคลองสำหรับดินชนิดต่าง ๆ ในการกำหนดขนาด คลองของโครงการ กสช.	140
6-4 คำนแนะนำความเร็วการไหลที่ยอมให้สำหรับดินชนิดต่าง ๆ ในการกำหนดขนาด คลองของโครงการ กสช.	141
6-5 ตัวอย่างตารางการพิจารณาหาขนาดหน้าตัดของคลองสำหรับคลองในโครงการ กสช.	143
ก-1 เกณฑ์ของระยะห่างของแนวหยั่งหาความลึกของน้ำและของแนววัดความเร็วของ กระแสน้ำ แนะนำโดย สุเทพ ดิงศรีพิทย์ (พ.ศ. 2521)	171
ก-2 ตารางปรับแก้ความลึก โดย Schnehong	167
ข-1 ข้อมูลการวัดปริมาณการไหลของน้ำในคลอง โดยใช้เครื่องมือวัดกระแสน้ำ	173
ข-2 ตารางแสดงค่าพารามิเตอร์ต่าง ๆ ของคลองที่ได้จากการวัดสำรวจ	183
ข-3 ตารางแสดงค่าพารามิเตอร์ต่าง ๆ ของคลองต่าง ๆ ในโครงการชลประทาน รังสิตเหนือและใต้	184
ค-1 การจำแนกขนาดของดิน	191
ค-2 การจำแนกชนิดของเนื้อดิน	192
ค-3 ตารางการจำแนกขนาดของดิน	193
ง-1 ตารางสรุปรวบรวมสูตรสมการความต้านทานการไหล	195
ง-2 ตารางค่าสัมประสิทธิ์ความฝืดของ Manning โดย Kraatz (1977)	202
ง-3 ตารางค่าสัมประสิทธิ์ความฝืดของ Manning โดย Chow (1959)	203
จ-1 ตารางแสดงอัตราการใช้ของน้ำสำหรับคลองที่ไม่ตาด โดย Linsley (1955)	206

ตารางที่

หน้า

- จ-2 ความสูญเสียเนื่องจากการรั่วซึมของน้ำสำหรับคลองที่ไม่ลาด โดย Kraatz  
(1977) 207
- ช-1 ตารางเปรียบเทียบหน่วย 226

## รายการภาพประกอบ

รูปที่		หน้า
1-1	รูปหน้าตัดตามขวางของคลองแสดงส่วนประกอบต่าง ๆ	4
1-2	รูปหน้าตัดตามยาวของคลองแสดงความลาดเอียงท้องคลอง	4
2-1	แสดงแรงกระทำต่อวัสดุ เมื่อมีการไหลเป็นแบบ ลามินาร์	9
2-2	แสดงแรงกระทำต่อวัสดุ เมื่อมีการไหลเป็นแบบ เทอร์บูเลนต์	13
3-1	สรุปสูตรสมการต่าง ๆ ที่ใช้ในการกำหนดออกแบบคลองเสถียรภาพ	13
3-2	รูปความสัมพันธ์ระหว่างความเร็วการไหลที่ทำให้เกิดการกัดเซาะและตกตะกอน กับขนาดของวัสดุ โดย Hjulstrom (1935)	21
3-3	รูปความสัมพันธ์ระหว่างความเร็วการไหลที่ไม่เกิดการกัดเซาะและตกตะกอน กับขนาดของวัสดุ โดย Sundborg (1956)	25
3-4	รูปความสัมพันธ์ระหว่างอัตราส่วนโพรงกับความเร็วการไหลที่ยอมให้สำหรับวัสดุ ประเภทมีแรงยึดติดของอนุภาค (cohesive materials) ข้อมูลจาก U.S.S.R. (1936)	36
3-5	รูปความสัมพันธ์แสดงตัวคูณผลหรือเพิ่มแก่ความเร็วการไหลที่ยอมให้ในรูปที่ 3-4 ข้อมูลจาก U.S.S.R. (1936)	36
3-6	ความสัมพันธ์ระหว่างความเร็วสูงสุดของการไหลที่ยอมให้กับขนาดของวัสดุ สำหรับวัสดุประเภทไม่มีแรงยึดติดของอนุภาค โดย U.S. data และ U.S.S.R. data	37
3-7	ความสัมพันธ์ระหว่างความเร็วการไหลกับปริมาตรโพรง โดย Garbrecht (1961)	37
3-8	รูปแสดงความสัมพันธ์ระหว่างความเร็วการไหลกับความลึกการไหลที่ระดับความเป็น ไปได้ของการกัดเซาะระดับต่าง ๆ โดย Hughes (1980)	42
3-9	รูปแสดงแรงกระทำต่อวัสดุบนลาดเอียงฝั่งคลอง	44
3-10 (ก)	รูปแสดงการกระจายของหน่วยแรงเฉือนบนลาดฝั่งคลองและท้องคลอง โดย Desaulniers & Frenette [Shen (1972)]	45

รูปที่		หน้า
3-10	รูปแสดงการกระจายของหน่วยแรงเฉือนบนลาดฝั่งคลองและท้องคลอง โดย Lane (1955)	45
3-11	รูปความสัมพันธ์ของค่าหน่วยแรงเฉือนสูงสุดที่ลาดฝั่งคลองและท้องคลอง โดย Lane (1955)	45
3-12	รูปความสัมพันธ์ระหว่างค่า K กับมุมความลาดเอียงของคลองและค่ามุมผลักของวัสดุ โดย Lane (1955)	47
3-13	ความสัมพันธ์ระหว่างหน่วยแรงเฉือนวิกฤติกับคุณลักษณะของทราย โดย Tiftany et. al (1935)	49
3-14	ความสัมพันธ์ระหว่างหน่วยแรงเฉือนวิกฤติกับขนาดของวัสดุ โดย Schoklitsh (1950)	49
3-15	ความสัมพันธ์ระหว่างหน่วยแรงเฉือนวิกฤติกับขนาดของวัสดุ โดย Leliavsky (1955)	52
3-16	ความสัมพันธ์ระหว่างหน่วยแรงเฉือนวิกฤติกับขนาดของวัสดุ โดย Chien (1954)	52
3-17	ความสัมพันธ์ระหว่างหน่วยแรงเฉือนวิกฤติกับขนาดเส้นผ่าศูนย์กลางของวัสดุสำหรับวัสดุที่มีขนาดสม่ำเสมอ โดย Shields (1936)	54
3-18	ความสัมพันธ์ระหว่างกลุ่มตัวแปรมิติศูนย์ของหน่วยแรงเฉือนกับค่า shear Reynolds number ของรูปความสัมพันธ์ของ Shields [Vanoni (1964)]	54
3-19	รูปความสัมพันธ์สำหรับคำนวณหาค่าหน่วยแรงเฉือนวิกฤติ โดย Task Committee on Preparation of Sedimentation Manual (1966)	56
3-20	ความสัมพันธ์ค่าหน่วยแรงเฉือนวิกฤติ ความเร็วเฉือนกับขนาดของวัสดุ จากรูปความสัมพันธ์ของ Shields [Overbeek (1980)]	58



## รูปที่

## หน้า

3-21	รูปความสัมพันธ์สำหรับคำนวณหาค่าแรงเฉือนวิกฤติ โดย Senturk (1969)	58
3-22	แสดงรูปแก้ไขรูปความสัมพันธ์ของ Shields โดย Gessler (1971)	59
3-23	แสดงรูปปรับปรุงรูปความสัมพันธ์ของ Shields โดย Gessler (1971)	59
3-24	รูปความสัมพันธ์ระหว่างหน่วยแรงเฉือนที่ยอมให้กับขนาดของวัสดุประเภท ไม่มีแรงยึดติดของอนุภาค โดย Lane (1955)	61
3-25	รูปแสดงความสัมพันธ์ระหว่างค่าของแรงเฉือนวิกฤติกับอัตราส่วนโพรงของวัสดุ สำหรับดินประเภทมีแรงยึดติดของอนุภาค ข้อมูลจาก U.S.S.R. (1936)	62
3-26 (ก)	รูปแสดงความสัมพันธ์ระหว่างค่าของมุมผลัดกับขนาดของวัสดุสำหรับวัสดุ ประเภทไม่มีแรงยึดติดของอนุภาค โดย Lane (1955)	63
3-26 (ข)	รูปความสัมพันธ์ของค่ามุมผลัด (angle of repose) ของวัสดุกับขนาดของ วัสดุสำหรับวัสดุประเภทมีแรงยึดติดของอนุภาค โดย Simons (1957)	63
3-27	รูปความสัมพันธ์ระหว่างเส้นขอบเปียกกับปริมาณการไหล โดย Simons & Albertson (1960)	88
3-28	รูปความสัมพันธ์ระหว่างรัศมีชลศาสตร์กับปริมาณการไหล โดย Simons & Albertson (1960)	88
3-29	รูปความสัมพันธ์ระหว่างเส้นขอบเปียกกับความกว้างเฉลี่ย โดย Simons & Albertson (1960)	89
3-30	รูปความสัมพันธ์ระหว่างรัศมีชลศาสตร์กับความลึกของการไหล โดย Simons & Albertson (1960)	89
3-31	รูปความสัมพันธ์ระหว่างความเร็วการไหลเฉลี่ยกับ $R^2S$ โดย Simons & Albertson (1964)	90
3-32	รูปความสัมพันธ์ระหว่างความกว้างเฉลี่ยกับความกว้างผิวน้ำ โดย Simons & Albertson (1960)	91
3-33	รูปความสัมพันธ์ระหว่าง $\frac{V^2}{gDS}$ กับ $\frac{VW}{v}$ โดย Simons & Albertson (1960)	90



รูปที่	หน้า
3-34	รูปความสัมพันธ์ระหว่างค่าของมุมผลึกกับขนาดของวัสดุ โดย Simons & Albertson (1960) 91
4-1	แสดงคลองในเขตโครงการชลประทานรังสิตเหนือ 98
4-2	รูปแสดงการใช้กล้องระดับหาความลาดเอียงท้องคลอง 100
4-3	รูปแสดงการใช้กล้องระดับหาความลาดเอียงท้องคลอง 100
4-4	รูปแสดงการหยั่งวัดความลึกของน้ำจากเรือ 101
4-5	รูปแสดงการหยั่งวัดความลึกของน้ำโดยการลงไปหยั่งวัดในคลอง 101
4-6	รูปการเตรียมเครื่องมือวัดกระแสน้ำ 102
4-7	รูปแสดงการเตรียมหย่อนเครื่องมือวัดกระแสน้ำจากสะพาน 102
4-8	รูปแสดงการเตรียมหย่อนเครื่องมือวัดกระแสน้ำจากเรือ 103
4-9	รูปแสดงการวัดกระแสน้ำ 103
5-1 (ก)	รูปความสัมพันธ์ระหว่างเส้นขอบเปียกกับปริมาณการไหล (จากการวัด) 108
5-1 (ข)	รูปความสัมพันธ์ระหว่างเส้นขอบเปียกกับปริมาณการไหล (จากการคำนวณ) 109
5-2 (ก)	รูปความสัมพันธ์ระหว่างรัศมีชลศาสตร์กับปริมาณการไหล (จากการวัด) 110
5-2 (ข)	รูปความสัมพันธ์ระหว่างรัศมีชลศาสตร์กับปริมาณการไหล (จากการคำนวณ) 111
5-3	รูปความสัมพันธ์ระหว่างความเร็วการไหลกับผลคูณ $R^2S$ 112
5-4	รูปความสัมพันธ์ระหว่างความกว้างเฉลี่ยกับเส้นขอบเปียก 113
5-5	รูปความสัมพันธ์ระหว่างรัศมีชลศาสตร์กับความลึกการไหล 114
5-6	รูปความสัมพันธ์ระหว่างความกว้างเฉลี่ยกับความกว้างผิวน้ำ 115
5-7	รูปความสัมพันธ์ระหว่างความเร็วการไหลกับความลึกการไหล 116
5-8	รูปเปรียบเทียบความสัมพันธ์ของเส้นขอบเปียกกับปริมาณการไหลจากผลงานวิจัยกับจากผลการศึกษาต่างประเทศ 120
5-9	รูปเปรียบเทียบความสัมพันธ์ของรัศมีชลศาสตร์กับปริมาณการไหลจากผลงานวิจัยกับผลการศึกษาต่างประเทศ 120

รูปที่		หน้า
5-10	รูปเปรียบเทียบความสัมพันธ์ของความเร็วการไหลกับค่า $R^2S$ จากผลงานวิจัยกับผลการศึกษาต่างประเทศ	122
6-1	แสดงตัวอย่างคลองโครงการสร้างงานในชนบท (2524) จ. นครปฐม	136
6-2	แสดงตัวอย่างคลองโครงการสร้างงานในชนบท (2524) จ. ปทุมธานี	136
6-3	แสดงตัวอย่างคลองโครงการสร้างงานในชนบท (2524) จ. มหาสารคาม	137
6-4	แสดงตัวอย่างคลองโครงการสร้างงานในชนบท (2524) จ. มหาสารคาม	137
6-5	แสดงตัวอย่างคลองโครงการสร้างงานในชนบท (2524) จ. ฉะเชิงเทรา	138
6-6	แสดงตัวอย่างคลองโครงการสร้างงานในชนบท (2524) จ. ฉะเชิงเทรา	138
6-7	แสดงตัวอย่างคลองโครงการสร้างงานในชนบท (2524) จ. มหาสารคาม	139
6-8	แสดงตัวอย่างคลองโครงการสร้างงานในชนบท (2524) จ. นครปฐม	139
6-9	แสดงรูปความสัมพันธ์ของตัวแปรการไหลต่าง ๆ สำหรับการกำหนดขนาดคลองในโครงการ กสช.	145
ก-1	รูปแสดงเครื่องมือวัดกระแสไฟฟ้า Current Meter แบบ Price พร้อมหุ่นน้ำหนักถ่วง	166
ก-2	แสดงจุดทำการหย่อนเครื่องมือวัดกระแสไฟฟ้า	166
ก-3	รูปปรับแก้ความสัมพันธ์ของความเร็วการไหลกระแสไฟฟ้ากับความเร็วการหมุนของถ้วยในเครื่องมือวัดกระแสไฟฟ้า	169
ก-4	รูปแสดงจุดทำการวัดและการคำนวณค่าความเร็วเฉลี่ยของการไหล	171
ก-5	รูปแสดงแนววัดความลึกและความเร็วของกระแสไฟฟ้า	171
ก-6	รูปแสดงแนว เบียง เบน ของ เครื่องมือวัดกระแสไฟฟ้าจากแนวตั้งเดิม	167
ข-1	รูปแสดงคลองต่าง ๆ ในเขตโครงการชลประทานรังสิตเหนือ	188
ข-2	รูปแสดงคลองต่าง ๆ ในเขตโครงการชลประทานรังสิตใต้	189
ค-1	รูปการจำแนกดินโดยใช้สามเหลี่ยมความสัมพันธ์ของ U.S. Bureau of Soils	192

## สัญลักษณ์และความหมาย

สัญลักษณ์	ความหมาย
A	พื้นที่หน้าตัดของคลอง (cross-sectional area) [เมตร <sup>2</sup> , ฟุต <sup>2</sup> ]
a <sub>1</sub> , a <sub>2</sub>	ระยะทางระหว่างจุดยึดหมุนถึงจุดศูนย์กลางความถ่วงของวัสดุ และระยะทางระหว่างจุดยึดหมุนของวัสดุถึงจุดไกลสุด (ในรูปที่ 2-1, 2-2) [เมตร, ฟุต]
B, B <sub>m</sub>	ความกว้างของคลองที่จุดกึ่งกลางของความลึก [เมตร, ฟุต]
b	ความกว้างของท้องคลอง [เมตร, ฟุต]
C	จุดศูนย์กลางความถ่วงของวัสดุ
C	ความเข้มข้นของตะกอนท้องน้ำ (bed load concentration) ส่วนในล้าน
C <sub>l</sub>	สัมประสิทธิ์แรงยก (lift coefficient) (ไม่มีหน่วย)
C <sub>d</sub>	สัมประสิทธิ์แรงลากดึง (drag coefficient) (ไม่มีหน่วย)
C <sub>v</sub>	อัตราส่วนของปริมาณการไหลของตะกอนต่อปริมาณการไหลของน้ำ (ไม่มีหน่วย)
C <sub>1</sub>	สัมประสิทธิ์รูปร่างของวัสดุ (form coefficient) (สำหรับวัสดุรูปทรงกลม จะมีค่า = $\frac{11}{6}$ ) (ไม่มีหน่วย)
C <sub>2</sub>	สัมประสิทธิ์รูปร่างของวัสดุ (form coefficient) โดยพิจารณาถึงพื้นที่ผิวประสิทธิผล (effective surface area) สำหรับวัสดุทรงกลมจะมีค่า = $\frac{11}{4}$ )
C <sub>3</sub>	สัมประสิทธิ์รูปร่างของวัสดุที่สัมพันธ์กับพื้นที่ผิวประสิทธิผลของวัสดุในทิศทางของแรงยก
c	องค์ประกอบแรงยึดติดของวัสดุ
d	ความลึกเฉลี่ยของการไหล [เมตร, ฟุต]
D, $\bar{D}$	ขนาดเส้นผ่าศูนย์กลางของเม็ดวัสดุโดยเฉลี่ย (average diameter) [เมตร, ฟุต, มิลลิเมตร, นิ้ว]
D <sub>50</sub>	ขนาดเส้นผ่าศูนย์กลางเฉลี่ยปานกลางของวัสดุ (mean diameter) ที่ผ่านตะแกรง 50 เเปอร์เซ็นต์ [เมตร, ฟุต, มิลลิเมตร, นิ้ว]

## สัญลักษณ์

## ความหมาย

E	อัตราส่วนของเส้นขอบเปียกต่อความกว้างของคลอง $E = \frac{P}{W}$ [ไม่มีหน่วย]
$F_s$	ค่าองค์ประกอบข้างคลองของ Blench (Blench's side factor)
$F_b$	ค่าองค์ประกอบท้องคลองของ Blench (Blench's bed factor)
$F_l$	แรงยก (lift force) [กิโลกรัม (แรง), กิโลกรัม (มวล)/ลบ.ม.]
$F_d$	แรงลากดึง (drag force) [กิโลกรัม (แรง), กิโลกรัม (มวล)/ลบ.ม.]
$F_c$	แรงยึดติดของวัสดุ (สำหรับวัสดุประเภทมีแรงยึดติดระหว่างอนุภาค)
$F_2, F_3$	ส่วนประกอบของแรงในแนวตั้งและแนวนอนของแรงเนื่องจากน้ำหนัก
$F_1$	แรงฉัณฑ์
$F_*$	มิติศูนย์ของหน่วยแรงเฉือน (dimensionless shear stress) [ไม่มีหน่วย]
F	Froude number [ไม่มีหน่วย]
f	ค่าองค์ประกอบตะกอนของ Lacey (Lacey's silt factor)
f	ค่าสัมประสิทธิ์ความฝืดของ Darcey-Weisbach
$f_b$	ระยะจากผิวน้ำถึงขอบบนของคลอง (free board) [เมตร, ฟุต]
g	อัตราเร่งเนื่องจากความโน้มถ่วงของโลก เมตร/วินาที <sup>2</sup> , ฟุต/วินาที <sup>2</sup>
K	ค่าสัมประสิทธิ์ (coefficient)
k	ค่าคงที่ ( $k = C_1/C_2$ )
m	อัตราส่วนความเร็ววิกฤติของ Kennedy (Kennedy's critical velocity ratio)
n	ค่าสัมประสิทธิ์ความต้านทานของการไหลของ Manning
P	เส้นขอบเปียกของคลอง (wetted perimeter) [เมตร, ฟุต]
Q	ปริมาณการไหลของน้ำ (discharge [ลบ.เมตร/วินาที, ลบ.ฟุต/วินาที])
R	รัศมีชลศาสตร์ของคลอง (hydraulic radius [เมตร, ฟุต])
$R_e$	Reynold number (ไม่มีหน่วย)
S	ความลาดเอียง (เส้นพลังงาน)
$S_o$	ความลาดเอียงของท้องคลอง

สัญลักษณ์

ความหมาย

$S_e$	ความลาดเอียง เส้นระดับพลังงาน
$S'$	ความสูญเสียเนื่องจากความไม่สม่ำเสมอและโค้งงอของคลอง (shock loss) ในเทอมของความลาดเอียง
$T$	ความกว้างของผิวน้ำ (water surface width) [เมตร, ฟุต]
$T_w$	ความกว้างจากฝั่งถึงฝั่งของคลอง (top width) [เมตร, ฟุต]
$U, V, \bar{u}$	ความเร็วเฉลี่ยของการไหล (average velocity) [เมตร/วินาที, ฟุต/วินาที]
$U_b, V_b, u_b$	ความเร็วสูงสุดของการไหลที่ท้องคลองที่ยอมให้ (maximum permissible velocity at the bottom) [เมตร/วินาที, ฟุต/วินาที]
$(u_b)_{cr}$	ความเร็วการไหลวิกฤติที่ท้องคลอง [เมตร/วินาที, ฟุต/วินาที]
$U_*, V_*$	ความเร็วเฉือน (shear velocity) [เมตร/วินาที, ฟุต/วินาที]
$W_s$	น้ำหนักของวัสดุ [กิโลกรัม/เมตร <sup>3</sup> , ตัน/เมตร <sup>3</sup> , ปอนด์/ฟุต <sup>3</sup> ]
$W_g$	น้ำหนักของวัสดุในน้ำ (submerged weight)
$W$	ความกว้างเฉลี่ยของคลอง (average width) [เมตร, ฟุต]
$y_o$	ความลึกของการไหล [เมตร, ฟุต]
$y$	ความสูงจากท้องคลอง [เมตร, ฟุต]
$\alpha$	มุมความลาดเอียงของท้องคลอง
$\nu$	ความหนืดจลศาสตร์ของของเหลว (kinematic viscosity) [เมตร <sup>2</sup> /วินาที, ฟุต <sup>2</sup> /วินาที]
$\rho$	ความหนาแน่นของน้ำ [กก./วินาที <sup>2</sup> /เมตร <sup>4</sup> , ตัน/วินาที <sup>2</sup> /เมตร <sup>4</sup> ปอนด์/วินาที <sup>2</sup> /ฟุต <sup>4</sup> , สลักซ์/ลบ.ฟุต]
$\rho_s$	ความหนาแน่นของวัสดุ [สลักซ์/ลบ.ฟุต]
$\gamma$	น้ำหนักจำเพาะของน้ำ [กก./ลบ.ม., ตัน/ลบ.ม., ปอนด์/ลบ.ฟุต]
$\gamma'_s$	น้ำหนักจำเพาะของวัสดุในน้ำ $\gamma'_s = \gamma_s - \gamma$

สัญลักษณ์

ความหมาย

$\phi$	ค่าของมุมผลึก (angle of repose)
$\tau_o, \tau_b$	หน่วยแรงเฉือนที่ท้องคลอง [กก./เมตร <sup>2</sup> , ตัน/เมตร <sup>2</sup> , ปอนด์/ฟุต <sup>2</sup> ]
$\tau_s, \tau_{ss}$	หน่วยแรงเฉือนบนลาดฝั่งคลอง [กก./เมตร <sup>2</sup> , ตัน/เมตร <sup>2</sup> , ปอนด์/ฟุต <sup>2</sup> ]
$\tau_c, \tau_{cr}$	หน่วยแรงเฉือนวิกฤติ [กก./เมตร <sup>2</sup> , ตัน/เมตร <sup>2</sup> , ปอนด์/ฟุต <sup>2</sup> ]
$\theta$	ค่าของมุมความลาดเอียงฝั่งคลอง

คำจำกัดความของคำหรือข้อความ

คลองเสถียรภาพ (stable channels or canals) :

หมายถึงคลองขุดที่ไม่มีการตาด (unlined earthen canals) และมีคุณสมบัติต่าง ๆ คือ

- ฝั่งคลอง (channel banks) และท้องคลอง (channel bed) ไม่เกิดการกัดกร่อนหรือกัดเซาะ (scouring or erosion) เมื่อมีการไหลของน้ำในคลอง
- ไม่มีการตกตะกอนทับถม (deposits of sediment) อันจะทำให้คลองตื้นเขิน (silting)
- ไม่มีการเปลี่ยนแปลงแนวทางของคลอง (change in alignment) หรือถ้าหากเกิดการกัดเซาะและการตกตะกอนทับถมแล้ว สภาพคลองยังอยู่ในลักษณะสมดุล คือมีความสมดุลของการกัดเซาะและตกตะกอนในช่วงหนึ่งช่วงเวลา (balancing intervals of silting and scouring) [Lane (1955), Davis & Sorensen (1969)]

คลองไม่ตาด (unlined canals) :

หมายถึงคลองที่ขุดโดยมีวัสดุประกอบคลองเดิม วัสดุประกอบคลองดังกล่าวอาจจะเป็นดินเหนียว, ดินร่วน, ดินทราย, กรวด, หิน หรือเป็นวัสดุผสม ตามวัสดุเดิมในพื้นที่ คลองไม่ตาดส่วนมากจะถือว่าเป็นคลองที่อาจเกิดการกัดเซาะ เนื่องจากการไหลของน้ำที่กระทำต่อคลองได้ นอกจากในกรณีที่ขุดในบริเวณที่มีวัสดุเป็นพวกหินแข็ง

คลองตาด (lined canals) :

หมายถึงคลองที่ขุดและใช้วัสดุอื่นเป็นวัสดุประกอบคลอง เช่น คอนกรีต, แอสฟัลต์, แผ่นพลาสติก, แผ่นยางสังเคราะห์ (synthetic rubber) เป็นต้น เพื่อเพิ่มประสิทธิภาพการใช้งานของคลอง ลดการกัดกร่อน, ลดการซึมของน้ำ เป็นต้น



ความเร็วสูงสุดของการไหลที่ยอมให้ (maximum permissible velocity) :

เป็นขีดกำหนดความเร็วการไหลของน้ำในคลองที่จะไม่ทำให้เกิดการกัดเซาะและตื้นเขินขึ้นกับคลอง ความเร็วการไหลดังกล่าวบางคนก็ให้ในรูปความเร็วการไหลเฉลี่ย (mean velocity) บางคนก็ให้ในรูปของอัตราเร็วของการไหลที่ระดับท้องคลอง (bottom velocity) แต่ส่วนมากจะกำหนดในลักษณะของความเร็วการไหลเฉลี่ย

แรงจุดหรือแรงเฉือน (tractive force) :

เป็นแรงที่เกิดจากส่วนหนึ่งของน้ำหนักน้ำที่ไหลในคลอง โดยกระทำในแนวสัมผัสกับท้องและลาดฝั่งคลอง ค่าของแรงจุดลากจะเป็นสัดส่วนกับความลาดเชิงและความลึกของการไหล

คลองในสภาวะสมดุลย์ (Channels in regime) :

เป็นคลองที่มีความสมดุลย์ของการกัดเซาะและตกตะกอนเท่าเทียมกัน จะทำให้เกิดสภาวะสมดุลย์ของคลองในช่วงเวลาหนึ่ง

วัสดุประเภทมีแรงยึดติดของอนุภาค (cohesive materials) :

หมายถึงวัสดุที่ต้องคำนึงถึงแรงยึดติดทางเคมีกายภาพ (cohesive or physiochemical force) ระหว่างเม็ดอนุภาค แรงยึดติดดังกล่าวขึ้นกับคุณสมบัติทางเคมีของแร่ประกอบเป็นหลัก วัสดุประเภทนี้ ได้แก่ พวกดินเหนียว, ดินที่มีส่วนผสมของดินเหนียว เช่น ดินเหนียวปนดินตะกอน (silty clay) เป็นต้น

วัสดุประเภทไม่มีแรงยึดติดของอนุภาค (non-cohesive or cohesionless materials) :

หมายถึงวัสดุที่แรงยึดติดระหว่างอนุภาคมีความสำคัญน้อยมาก และไม่คำนึงถึงวัสดุจำพวกนี้ได้แก่ พวกกรวด, ทราย, ดินปนทราย เป็นต้น



คอลลอยด์ (colloid) :

หมายถึงวัสดุที่มีขนาดเล็กมาก คือมีขนาดเล็กกว่าอนุภาคดินเหนียว ( $<0.006$  มม.)

ซึ่งปนอยู่กับวัสดุประเภทต่าง ๆ หรืออยู่ในสภาพแขวนลอยในน้ำ